

## تنظیم خودکار پارامترهای مدل یادگیری Q با استفاده از اتوماتونهای یادگیر با ساختار ثابت

سیامک حجت  
محمد رضا میبدی  
کارشناس ارشد  
دانشیار دانشکده مهندسی کامپیوتر  
دانشکده مهندسی کامپیوتر، دانشگاه صنعتی امیرکبیر

### چکیده

مدل یادگیری  $Q$  [1] پارامترهای متعددی دارد و عملکرد بهینه این مدل به انتخاب مناسب این پارامترها وابسته است. مقادیر این پارامترها معمولاً با سعی و خطأ و توسط طراح مدل انتخاب می‌شوند و در طول یادگیری بصورت مقادیر ثابت مورد استفاده قرار می‌گیرند. اما تعیین پارامترها به این روش اولاً بسیار نادرست و وقتگیر است و ثابتاً انعطاف پذیری لازم را ندارد. در [2] یک راه حل برای تنظیم خودکار پارامترهای مدل‌های یادگیر توسعه یک یا چند مأمور یادگیر دیگر پیشنهاد شده است و نتایج استفاده از یک اتوماتون یادگیر با ساختار متغیر در تنظیم این پارامترها بررسی شده است. در [3] نیز استفاده از چند اتوماتون یادگیر با ساختار متغیر برای تنظیم پارامترهای مدل  $Q$  بررسی شده است. هدف از این مقاله بررسی نتایج تنظیم پارامترهای مدل با استفاده از اتوماتونهای یادگیر با ساختار ثابت و مقایسه نتایج بدست آمده با آزمایش‌های انجام شده در [2] و [3] می‌باشد.

**واژه‌های کلیدی:** Reinforcement Learning,  $Q$ \_Learning, Statistical Clustering, Learning Automata

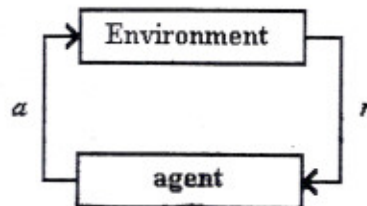
### ۱. مقدمه

در یادگیری تقویتی<sup>1</sup> [4] یک یادگیرنده در هر لحظه از مجموعه فعالیتهای ممکن فعالیتی را انتخاب کرده و در محیط اعمال می‌کند. با اعمال هر فعالیت پسخوری<sup>2</sup> از محیط دریافت می‌شود (شکل ۱). هدف یادگیرنده یافتن یک استراتژی انتخاب فعالیت برای ماکریسم کردن پسخورهای دریافت شده از محیط در طول زمان است. در چند دهه گذشته الگوریتمهای یادگیری تقویتی متنوعی طراحی و پیاده‌سازی شده‌اند. همگی این الگوریتمها شامل پارامترهای متعددی می‌باشند و رفتار آنها به شدت به چگونگی انتخاب مقادیر این پارامترها وابستگی دارد. برای کاهش این

<sup>1</sup>Reinforcement Learning

<sup>2</sup>Feedback

وابستگی در [2] روشنی برای تنظیم پارامترهای یک الگوریتم یادگیری تقویتی پیچیده توسط الگوریتمهای یادگیری ساده‌تر پیشنهاد شد. در [2] از مدل Q به عنوان الگوریتم یادگیری تقویتی پیچیده استفاده گشت و از اتوماتونهای یادگیری تقویتی با ساختار ثابت برای تنظیم یک پارامتر این مدل استفاده شد. در اینجا نتایج استفاده از اتوماتونهای ساختار ثابت برای تنظیم چند پارامتر مدل Q بررسی می‌شود و نتایج حاصله با کارهای قبلی مقایسه خواهد شد.



شکل ۱. رابطه مامور با محیط.

## ۲. مدل یادگیری Q

مدل یادگیری Q یک نوع یادگیری تقویتی است. مدل Q یک تکنیک برای انتشار پسخورهای بلاfaciale روی توالی فعالیتها می‌دهد. این مدل معمولاً به همراه روش‌های دسته بندی آماری<sup>۳</sup>[5] استفاده می‌شود. از مدل Q در کاربردهایی نظیر یادگیری رفتارهای جدید در روباتهای رفتاری<sup>۴</sup>[6] و کنترل انیماتها<sup>۵</sup>[7] استفاده شده است. در مدل Q از یک ساختمان داده بنام  $Q$  برای تخمین سودمندی اعمال فعالیت  $a$  در وضعیت  $s$  شده  $S$  استفاده می‌شود:  $Q(S,a)$ . ابتدا  $Q(S,a)$  برای تمام فعالیتها  $a$  و وضعیتها  $S$  برابر با صفر فرض می‌شود. سپس با اعمال هر فعالیت  $a$  در وضعیت  $X$  و دریافت پسخور بلاfaciale  $r$  مقدار  $Q(X,a)$  با فرمول زیر بهنگام می‌شود:

$$Q(X,a) \leftarrow Q(X,a) + \lambda (r + \gamma e(Y) - Q(X,a)) \quad (1)$$

در فرمول بالا  $Y$  وضعیت بعدی محیط (پس از اعمال فعالیت  $a$  در وضعیت  $X$  است) و  $e(Y)$  سودمندی وضعیت  $Y$  می‌باشد که با فرمول زیر محاسبه می‌شود: ( $m$  تعداد فعالیتهاست)

$$e(Y) \leftarrow \text{maximum } Q(Y,i) \text{ over all actions } i, (i = 1, 2, \dots, m) \quad (2)$$

پارامتر  $\lambda$  ( $0 \leq \lambda \leq 1$ ) میزان اصلاح خطای  $Q$  را تعیین می‌کند و پارامتر  $\gamma$  ( $0 \leq \gamma \leq 1$ ) میزان صرفنظر کردن از سودمندی وضعیت نتیجه شده را مشخص می‌کند. در مدل Q تابع ارزیابی برای انتخاب بهترین فعالیت در وضعیت  $S$  باید فعالیتی را برگزیند که مقدار  $Q(S,a)$  را ماکریم کند. این سیاست انتخاب فعالیتها هرگز تمام فعالیتهای ممکن را امتحان نمی‌کند و معمولاً منجر به انتخاب غیر بهینه فعالیتها می‌شود. بنا بر این لازم است در درصدی از موقع (θ) انتخاب فعالیت بطور تصادفی انجام گیرد[6].

زمانی که تعداد وضعیتهای قابل تجربه زیاد باشد بجای دخیره کردن تمام تجربیات بهتر است آنها را دسته‌بندی کرد. در دسته‌بندی آماری تمام تجربیات مشابه در یک دسته قرار می‌گیرند و بجای دخیره کردن همه آنها تنها اطلاعاتی آماری از آنها نگهداری می‌شود. در این تکنیک هر تجربه جدید با دسته‌های موجود مقایسه شده و در

<sup>3</sup>Statistical Clustering

<sup>4</sup>Behavior Based Robots

<sup>5</sup>Animats

دسته (یا دسته‌های) مشابه ادغام می‌شود. در صورتیکه تجربه جدید مشابه هیچکدام از دسته‌های موجود نباشد یک دسته جدید برای آن تجربه ایجاد خواهد شد.

هر دسته نمایانگر گروهی از وضعیت‌های مشابه است. یک دسته را میتوان با  $n+2$  تابی  $C = \langle (z_1, o_1), (z_2, o_2), \dots, (z_n, o_n), Q_c, M_c \rangle$  نشان داد که در آن  $z_i$  و  $o_i$  تعداد دفعاتی است که بیت آن از وضعیت  $S$  در دسته  $C$  بوده است.  $n$  تعداد بیت‌های یک وضعیت است،  $Q_c$  مقدار  $S$  در دسته را مشخص می‌کند و  $M_c$  نمایانگر تعداد تجربیاتی است که در این دسته قرار گرفته‌اند. حال اگر  $p(S \in C)$  احتمال شرطی قرار گرفتن  $S$  باشد برای اینکه وضعیت  $S$  در دسته  $C$  قرار گیرد باید داشته باشیم:

$$p(S \in C | s_1 = v_1, s_2 = v_2, \dots, s_n = v_n) > \varepsilon \quad (3)$$

$$|Q_c - Q_s| < \delta \quad (4)$$

نامعادلات (3) و (4) تضمین می‌کنند که اولاً مشابهت وضعیت  $S$  با دسته  $C$  از یک مقدار آستانه‌ای ( $\varepsilon$ ) بیشتر باشد و ثانیاً  $Q$  محاسبه شده برای وضعیت  $S$  نسبت به مقدار  $Q$  ذخیره شده در دسته  $C$  از یک مقدار ثابت آستانه‌ای ( $\delta$ ) کمتر باشد. بعد از اینکه مشخص شد که وضعیت  $S$  در دسته  $C$  قرار می‌گیرد از آن برای بهنگام سازی دسته استفاده خواهد شد. فرض کنید  $C_{\text{u}} = \langle (z_1, o_1), (z_2, o_2), \dots, (z_n, o_n), Q_u, M_u \rangle$  اگر  $C_u$  دسته  $C$  پس از بهنگام‌سازی باشد و داشته باشیم:  $C_u = \langle (z_{1u}, o_{1u}), (z_{2u}, o_{2u}), \dots, (z_{nu}, o_{nu}), Q_{cu}, M_{cu} \rangle$ . برای هر بیت  $i$  از وضعیت  $S$  که برابر با 1 باشد خواهیم داشت:  $z_{iu} = \mu z_i$ ،  $o_i = 1 + \mu o_i$  ( $s_i = 1$ ) و برای هر بیت  $i$  از وضعیت  $S$  که برابر با 0 باشد خواهیم داشت:  $z_{iu} = 1 + \mu z_i$ ،  $o_i = \mu o_i$  ( $s_i = 0$ ). در اینجا  $\mu$  عددی حقیقی و بین صفر و یک است که برای افزایش اهمیت تجارب جدید بکار می‌رود. اگر  $\mu = 1$  باشد اهمیت تجارب جدید در نظر گرفته خواهد شد.  $\mu$  را معمولاً از فرمول  $(2K-1)/2K$  بدست می‌آورند که در آن  $K$  عددی صحیح است (از  $K$  برای ایجاد دسته‌های جدید استفاده خواهد شد).

فرض کنید در وضعیت  $S$  فعالیت  $a$  اعمال شده باشد و مقدار محاسبه شده  $Q$  برای آن برابر با  $Q(S, a)$  باشد آنگاه برای ساختن  $Q_{cu}$  می‌توان از مجموع  $Q_c$  و  $Q(S, a)$  استفاده کرد. معمولاً در این جمع از  $M_c$  بعنوان وزن استفاده می‌شود:

$$Q_{cu} = Q_c \left( \frac{M_c}{M_c + 1} \right) + Q(S, a) \left( \frac{1}{M_c + 1} \right) \quad (5)$$

همچنین تعداد تجربیات دسته  $C_u$  بصورت  $M_{cu} = M_c + 1$  بهنگام می‌شود. اگر یک وضعیت  $S$  مشابه هیچ یک از دسته‌های موجود نباشد باید یک دسته جدید  $C_{new}$  برای آن ساخته شود: برای اینکار ابتدا یک دستهٔ خالی به شکل ایجاد می‌گردد:  $C = \langle (z_1, o_1), (z_2, o_2), \dots, (z_n, o_n), Q_c, M_c \rangle$  که در آن:  $z_i = o_i = K$ ،  $Q_c = 0$ ،  $M_c = 0$  و  $s_i = 0$  است. پس دستهٔ خالی فوق با وضعیت  $S$  ادغام می‌شود و دسته  $C_{new}$  را می‌سازد. گاهی دو دسته به اندازه‌ای مشابه یکدیگرند که می‌توانند در هم ادغام شوند. برای محاسبه تشابه دو دسته می‌توان از اندازه‌گیری فاصله بین دو دسته استفاده کرد. دو دسته  $C_1$  و  $C_2$  فاصله آنها کمتر از مقدار ثابت  $\rho$  باشد و ثانیاً مقادیر  $Q$  دو دسته اختلافی کمتر از  $\delta$  داشته باشد. یعنی:

$$\text{distance}(C_1, C_2) < \rho \quad (6)$$

$$|Q_{c_1} - Q_{c_2}| < \delta \quad (V)$$

حال اگر دو دسته  $C_a$  و  $C_b$  را داشته باشیم و این دو دسته به اندازه کافی مثابه باشند (یعنی روابط ۶ و ۷ برای آنها صادق باشد) آنگاه دو دسته در هم ادغام می‌شوند و دسته جدید  $C$  را بوجود می‌آورند، که عناصر آن بصورت زیر ساخته می‌شوند:

$$z_{ic} = z_{ia} \left( \frac{M_a}{M_a + M_b} \right) + z_{ib} \left( \frac{M_b}{M_a + M_b} \right) \quad (A)$$

$$o_{ic} = o_{ia} \left( \frac{M_a}{M_a + M_b} \right) + o_{ib} \left( \frac{M_b}{M_a + M_b} \right) \quad (B)$$

$$Q_c = Q_a \left( \frac{M_a}{M_a + M_b} \right) + Q_b \left( \frac{M_b}{M_a + M_b} \right) \quad (C)$$

$$M_c = M_a + M_b \quad (D)$$

در یادگیری  $Q$  باید در هر وضعیت  $S$  فعالیت  $a$  را به گونه‌ای انتخاب کرد که مقدار  $Q(S,x)$  را به ازای تمام فعالیت‌های ممکن ماکریم کند ( $x = 1, 2, \dots, m$ ). برای محاسبه  $Q(S,x)$  از روی دسته‌های موجود می‌توان از فرمول زیر استفاده کرد:

$$Q(S,x) = \frac{\sum_{C \in C_x} [Q_c \times P(S \in C | S_1 = V_1, \dots, S_n = V_n)]}{\sum_{C \in C_x} [P(S \in C | S_1 = V_1, \dots, S_n = V_n)]} \quad (E)$$

در عبارت فوق  $C_x$  مجموعه دسته‌هایی می‌باشد که در آنها فعالیت  $x$  انتخاب شده است. صورت کسر بالا مجموع وزن دار مقادیر  $Q$  برای عناصر  $C_x$  است (از احتمال قرار گرفتن وضعیت  $S$  در دسته  $C$  بعنوان وزن این جمع استفاده شده است). مخرج کسر نیز برای نرمال کردن عبارت می‌باشد.

مدل  $Q$  را می‌توان به صورت زیر خلاصه کرد:

۱. مقادیر ثابتی برای پارامترهای  $Q(\theta, \gamma, \lambda, \rho, K, \epsilon, \delta)$  و پارامترهای دسته بندی ( $\theta, \gamma, \lambda, \rho, K, \epsilon, \delta$ ) در نظر بگیرید.

۲. برای همیشه:

الف) وضعیت فعلی محیط را مشاهده کنید ( $X$ ).

ب) در  $\theta$  درصد از مواقع فعالیتی را به طور تصادفی انتخاب کنید. در مواقع دیگر فعالیتی را انتخاب کنید که مقدار  $Q(X, a)$  را ماکریم کند.

پ) فعالیت  $a$  را در محیط اعمال کنید. فرض کنید وضعیت جدید  $Y$  باشد و پسخور بلاfacسله اعمال این فعالیت ۲ باشد.

ت) میزان  $Q(X, a)$  را با معادله (۱) بهینگام کنید.

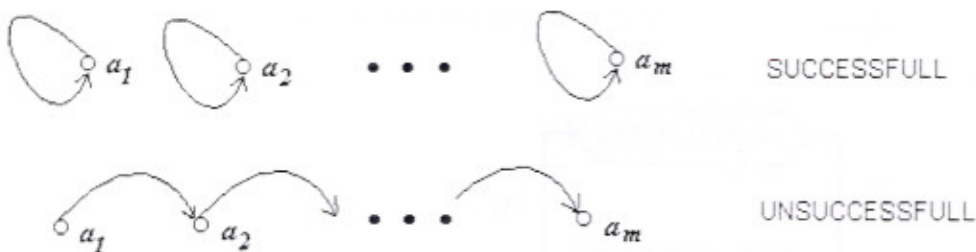
ث) اگر دسته‌ای مانند  $C$  وجود داشت که به همراه  $X$  در نامعادلات (۳) و (۴) صدق کند، وضعیت  $X$  را در دسته  $C$  ادغام کنید. در غیر اینصورت دسته جدیدی از روی  $X$  ایجاد نمایید.

ج) هر دو دسته  $C_1$  و  $C_2$  که در نامعادلات (۶) و (۷) صدق می‌کنند را در هم ادغام کنید.

## ۲. اتوماتونهای یادگیر [8][9]

در اتوماتونهای یادگیر یک تصمیم گیرنده در یک محیط تصادفی فعالیتهای را بر اساس پسخورهای دریافت شده از محیط انتخاب می‌کند. تصمیم گیرنده در چنین محیطی بر اساس پسخورهای دریافت شده از محیط و یک استراتژی انتخاب، فعالیتهای را انتخاب کرده و در محیط اعمال می‌کند. اتوماتونهای یادگیر بر اساس ثابت یا پویا بودن استراتژی انتخاب فعالیتشان به دو دسته اتوماتونهای ساختار ثابت و ساختار متغیر تقسیم می‌شوند. در [2] چند اتوماتون ساختار متغیر بنام LRP و LRI (یا بطور کلی اتوماتونهای LA) معرفی شدند. بنا بر این در اینجا تنها اتوماتونهای ساختار ثابت معرفی خواهد شد.

یک استراتژی ساده برای انتخاب فعالیتها این است که اتوماتون تا زمانیکه پسخور موفقیت آمیز دریافت می‌کند به انتخاب فعالیتی که قبلاً انتخاب کرده است ادامه دهد اما هرگاه پسخور ناموفق بود فعالیت دیگری را انتخاب کند. در شکل ۲ این استراتژی انتخاب فعالیت مشخص شده است (در شکل  $m$  تعداد فعالیتهاست). اتوماتونی که به این ترتیب عمل می‌کند را اتوماتون ثابت یا FA می‌نامند.



شکل ۲

اتوماتونهای تسلیم (مدلهای L و G) [10,11]. کرنسکی (مدل K1) [12] و کربلوف (مدل K2) [13] نیز از انواع دیگر اتوماتونهای ساختار ثابت می‌باشند. این اتوماتونها تعداد پسخورهای موفق و ناموفق حاصل از هر فعالیت را ثبت می‌کنند. برای این منظور اتوماتونها از یک حافظه با عمق ثابت استفاده می‌کنند که عمق این حافظه را با N نمایش می‌دهند. در اتوماتون L پس از انتخاب یک فعالیت تا زمانی که تعداد پسخورهای موفقیت آمیز بیشتر از تعداد پسخورهای ناموفق باشد، فعالیت انتخاب شده در لحظه قبل مجددًا انتخاب خواهد شد. اتوماتون G نیز به همین منوال عمل می‌کند با این تفاوت که این اتوماتون هرگاه پسخور ناموفق دریافت کند بالافصله فعالیت دیگری را برای اعمال انتخاب خواهد کرد. اتوماتون K1 نیز رفتاری مشابه اتوماتون L دارد اما با این تفاوت که این اتوماتون تنها با دریافت N بار پسخور ناموفق فعالیتی که انتخاب کرده است را تغییر می‌دهد. اتوماتون K2 زمانی که پسخور محیط موفقیت آمیز باشد درست مانند اتوماتون L رفتار می‌کند. اما در قبال دریافت پسخور ناموفق تنها به احتمال ۵۰٪ مانند اتوماتون L عمل می‌کند و در ۵۰٪ دیگر از موقع با پسخور ناموفق نیز مانند پسخور موفق برخورد می‌کند. برای مطالعه بیشتر اتوماتونهای ساختار ثابت به [8,9,22] مراجعه کنید.

## ۳. تنظیم پارامترهای مدل‌های Q [2][3][14]

برای تنظیم پارامترهای مدل Q با استفاده از اتوماتونهای یادگیری این اتوماتونها باید مجهر به فعالیتهای جهت تغییر مقادیر پارامترهای مدل Q باشند. شمای کلی روش تنظیم پارامترها توسط اتوماتونها به این صورت است:

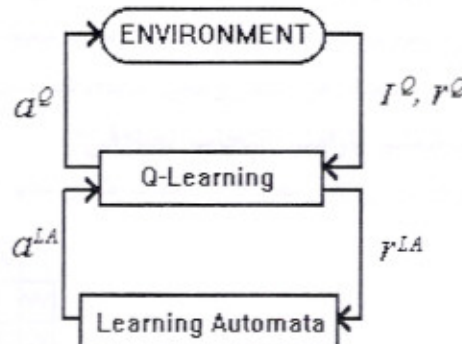
- ۱- اتوماتونها با اعمال فعالیتهای خود مقدار پارامترهای مدل Q را تغییر می‌دهند.
- ۲- مدل Q در طول یک پریود زمانی (period) از این مقادیر استفاده می‌کند.

۳- در انتهای پریود میزان کارا بودن هر یک از پارامترها بر اساس عملکرد مدل ارزیابی می‌شود و بصورت پسخورهایی در اختیار اتماتونهای یادگیر قرار می‌گیرند.

۴- اتماتونها با استفاده از پسخورهای دریافتی احتمال انتخاب فعالیتهای خود را بهنگام می‌کنند.

۵- تکرار عملیات.

به این ترتیب مدل  $Q$  نقش محیط اتماتون یادگیر را ایفا می‌کند (شکل ۳). به عنوان مثال اگر از یک اتماتون یادگیر برای تنظیم مقدار  $\theta$  استفاده شود، برای تعیین مقدار مناسب این پارامتر که عددی بین صفر و یک است بازه  $[0,1]$  به بازه‌های کوچکتری تقسیم می‌شود. فرض کنید بازه‌ها با فاصله یک دهم انتخاب شوند (یعنی ده بازه) و هر بازه با کوچکترین عدد آن بازه مشخص شود. وظیفه اتماتون یادگیر انتخاب بازه‌ای است که عدد مشخص کننده آن مناسب‌ترین مقدار را برای پارامتر انتخاب تصادفی یادگیری  $Q$  داشته باشد. برای این منظور باید از یک اتماتون یادگیر که مجهر به ده فعالیت (برای انتخاب هر کدام از بازه‌ها) است استفاده کرد. اتماتون یادگیر پس از انتخاب یک مقدار برای این پارامتر آنرا در اختیار مدل  $Q$  می‌گذارد و مدل  $Q$  در یک پریود زمانی (مثلاً ده واحد زمانی) از این مقدار استفاده خواهد کرد. پس از این‌قضایی این پریود میزان کارایی پارامتر تنظیم شده توسط یکتابع ارزیابی به اتماتون یادگیر پسخور می‌گردد و مجدداً این عملیات تکرار می‌شود.



شکل ۳. رابطه مدل  $Q$  با اتماتون یادگیر و محیط.

تابع ارزیابی مورد استفاده برای اتماتون تنظیم کننده پارامتر  $\theta$  به صورت زیر تعریف شده است: (این روابط پسخور اتماتون در زمان  $t$  را مشخص می‌کنند، فرض شده که اتماتون در زمان  $T$  پسخور بیشینه را دریافت کرده باشد)

$$(13) \quad \text{IF } \sum_{i=1-p}^t r_i^0 \geq \sum_{i=1-p}^t r_i^2 \text{ THEN } r^{LA} = \text{MAX}_{i=1}^t (r_i^0)$$

$$(14) \quad \text{ELSE IF } \sum_{i=1-p}^t \frac{r_i^0}{p} \leq \sum_{i=1}^t \frac{r_i^2}{t} \text{ THEN } r^{LA} = \text{MIN}_{i=1}^t (r_i^2)$$

$$(15) \quad \text{ELSE } r^{LA} = \text{MIN}_{i=1}^t (r_i^0) + \frac{\sum_{i=1-p}^t \frac{r_i^0}{p} - \sum_{i=1}^t \frac{r_i^2}{t}}{\sum_{i=1-p}^t \frac{r_i^0}{p} - \sum_{i=1}^t \frac{r_i^2}{t}} \times (\text{MAX}_{i=1}^t (r_i^0) - \text{MIN}_{i=1}^t (r_i^2))$$

سایر پارامترهای مدل  $Q$  علاوه بر عملکرد در تعداد دسته‌های مدل نیز مؤثرند. در تابع ارزیابی اتماتونهای تنظیم کننده این پارامترها در صورتیکه تعداد دسته‌ها در یک پریود تغییر نکنند پسخور با روابط بالا محاسبه شده است، اما اگر تعداد دسته‌ها در یک پریود زمانی افزایش یابد و میانگین پسخورهای دریافتی در این پریود نسبت به میانگین کل بهتر نشود، آنگاه پسخور کمینه و در صورتیکه تعداد دسته‌ها در یک پریود زمانی کاهش یابد و میانگین

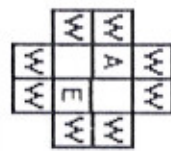
پسخورهای دریافتی در این بروید نسبت به پریود قبلی کاهش نیاید به عنوان پیشنهای برای اینمانها در نظر گرفت شده است.

#### ۴. آزمایشها و نتایج

در آزمایشها که شرح آنها خواهد آمد از مدلهای  $Q_{LRP}$  و  $Q_{FA}$ ،  $Q_{G}$ ،  $Q_{L}$ ،  $Q_{K1}$  و  $Q_{K2}$  برای کنترل یک مامور یادگیرنده در مجتمعهایی مخصوصی استفاده شده است. در این آزمایشها محیط یک صفحه شطرنجی شکل است که در هر خانه آن مسکن است یک شیء وجود داشته باشد. مامور یادگیرنده مجهز به چهار حس برای مشاهده اجسام خانه‌هایی مجاور خود (بالا، راست، پائین و چپ) و چهار فعالیت برای حرکت به این خانه‌هایی مجاور است. این فعالیتها تنها زمانی موجب حرکت به یک خانه مجاور می‌شوند که در آن خانه شیئی وجود نداشته باشد. در این صورت حرکت به خانه مجاور انعام می‌گردد و مامور پسخور صفر ( $=0$ ) را از محیط دریافت می‌کند. در هر خانه از محیط یکی از اشیاء دیوار، غذا، زهر یا دشمن می‌تواند وجود داشته باشد. اعمال یک فعالیت برای حرکت به خانه‌ای که در آن دیوار، غذا، زهر یا دشمن وجود دارد به ترتیب پسخورهای 40، 100، 400 و 100-را ایجاد می‌کند. اشیاء دیوار، غذا و زهر نمی‌توانند در محیط حرکت کنند اما دشمن می‌تواند در هر واحد زمانی به یکی از چهار خانه مجاور (بالا، راست، پائین یا چپ) حرکت کند (حرکت دشمن به خانه‌هایی مجاور بطور تصادفی انعام می‌گیرد). برای ساده کردن توصیف محیط در آزمایشها از حروف W، E، P، F، W، E، P و A به ترتیب برای نمایش دیوار، غذا، زهر، دشمن و مامور استفاده شده است.

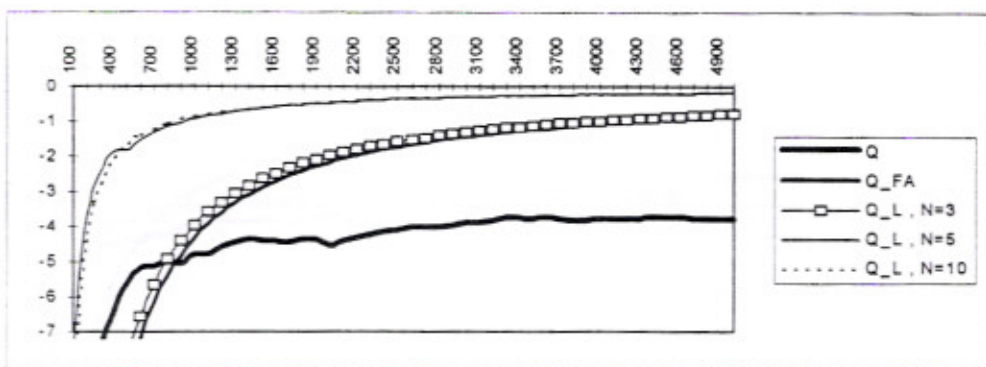
#### ۴-۱. تنظیم پارامتر "انتخاب تصادفی"

برای بررسی تاثیر تنظیم  $\theta$  در انعطاف پذیری مدلها از یک محیط ساده به شکل زیر استفاده شده است:

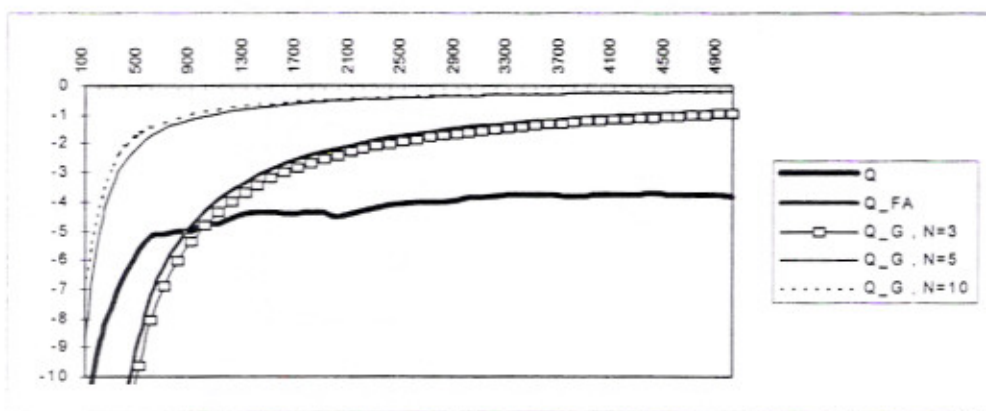


شکل ۴. محیط آزمایش انعطاف پذیری.

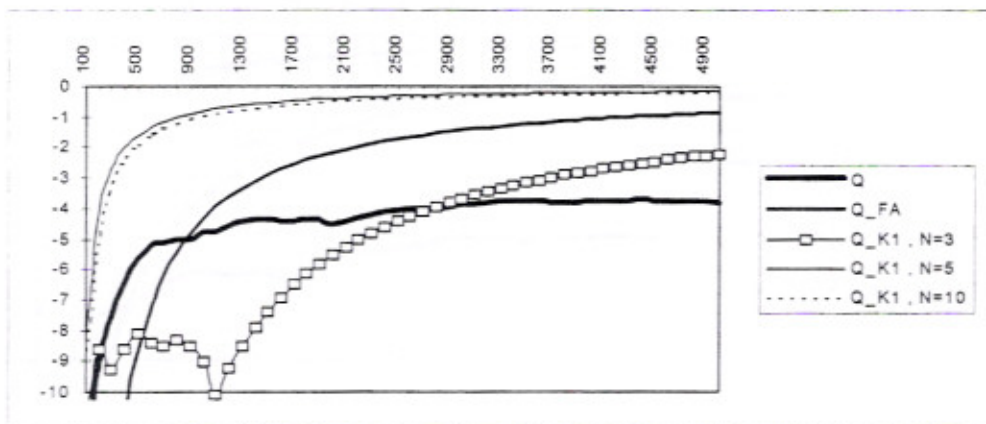
در این آزمایشها مقادیر پارامترهای ثابت مدلهای  $Q$  با پارامتر  $\theta$  ثابت و تنظیم شده بدلین صورت انتخاب شده‌اند:  $0.9 = \gamma$ ،  $0.5 = \rho$ ،  $2 = \lambda$  و  $0.1 = \theta = Q_{LRP}$  ( فقط برای مدلهای  $Q$  با  $\theta = 0.1$ ،  $k = 5$ ،  $\delta = 10$ ،  $\epsilon = 0.000001$  ) پارامترهای ثابت (  $\gamma$  و  $\rho$  ) فقط برای مدلهای  $Q$  با پارامتر تنظیم شده، در نمودارهای ۱ تا ۴ به ترتیب عملکرد هر کدام از مدلهاي  $Q_{LRP}$ ،  $Q_{K1}$ ،  $Q_{K2}$  و  $Q_{FA}$  با عمقهای حافظه مختلف با مدلهاي  $Q_{LRP}$  مقایسه شده‌اند. مطابق نسودارها مشخص است که اولاً تنظیم پارامترها باعث افزایش عملکرد شده است (دایل افزایش عملکرد با تنظیم پارامترها در [2] و [3] برسی شده است) و ثانیاً افزایش عمق حافظه در مدلها موجب عملکرد بeter آنها شده است. در نسودار D نجوده تغییر عملکرد با افزایش عمق حافظه افزایش حافظه افزایش عملکرد مدلها می‌شود برای این محیط عمیق حافظه بین ۵ تا ۱۰ بهترین نتیجه را در برداشته است. نسودار E عملکرد مدلهای پارامترهای آن با اینمانون ساختار متغیری بنام  $LRP$  تنظیم می‌شود ([2] مقایسه کرده است. چنانچه ملاحظه می‌شود این مدلها در این محیط نسبتاً مشابه بوده است.



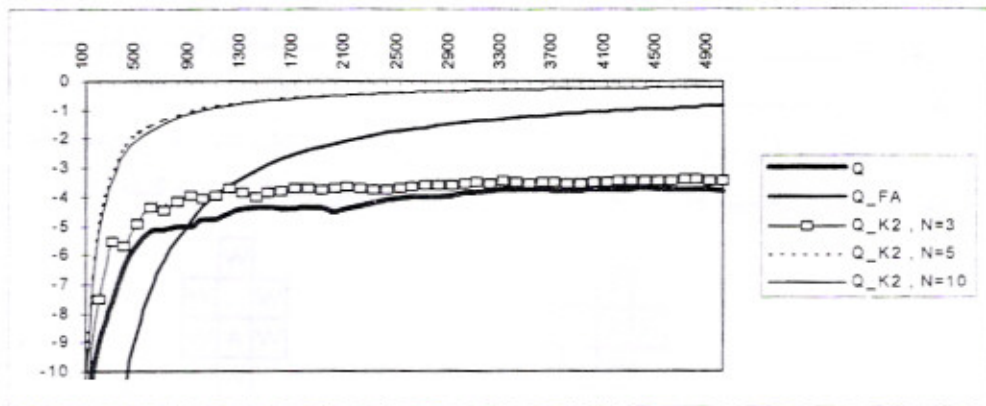
نمودار ۱. عملکرد مدل  $Q_L$  با عمقهای حافظه مختلف.



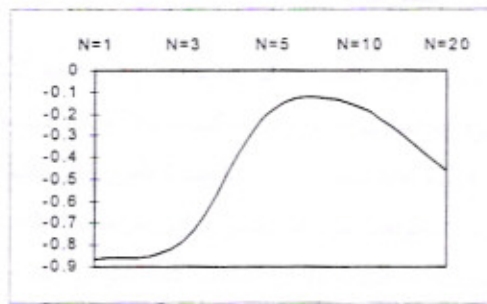
نمودار ۲. عملکرد مدل  $Q_G$  با عمقهای حافظه مختلف.



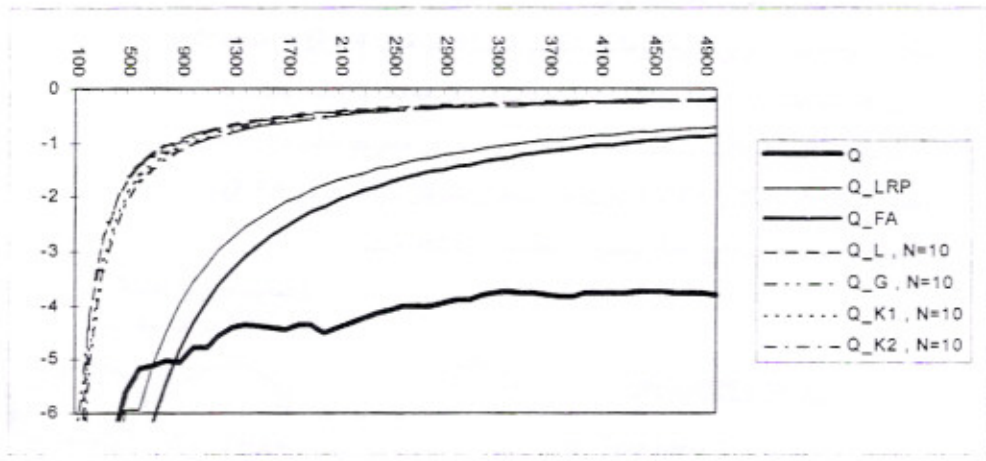
نمودار ۳. عملکرد مدل  $Q_{K1}$  با عمقهای حافظه مختلف.



نمودار ۴. عملکرد مدل  $Q_{K2}$  با عمقهای حافظه مختلف.



نمودار ۵. تغییرات عملکرد مدل  $Q_{K2}$  با تغییر عمق حافظه.



نمودار ۶. مقایسه عملکرد مدل‌های مختلف با پکد پنکر.

#### ۱-۱-۴. مقایسه انعطاف پذیری

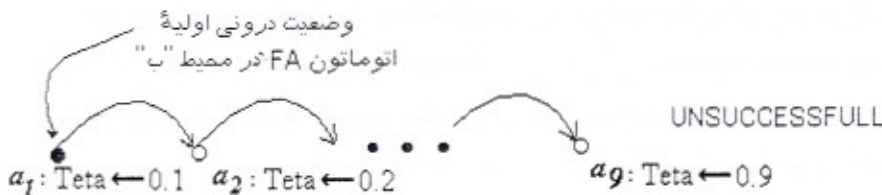
منظور از انعطاف پذیری مدل‌های یادگیری قابلیت انطباق آنها با محیط است. درجه انعطاف پذیری مدل یادگیری را می‌توان مناسب با زمان لازم برای یافتن بهترین فعالیت برای اعمال در یک وضعیت تجربه نشده دانست. برای اندازه‌گیری درجه انعطاف پذیری مدل در برخورد با وضعیتهای جدید از محیط پایه با پیکربندی‌های شکل ۵ استفاده شده است. در این آزمایش ابتدا از محیط شکل ۵-الف برای خبره کردن یادگیرنده استفاده گشته است. برای این منظور یادگیرنده به مدت ۲۰۰۰ واحد زمانی در این محیط قرار گرفته است. سپس یادگیرنده در محیط شکل ۵-ب قرار داده شده و در این وضعیت جدید زمان لازم برای انتخاب بهترین فعالیت (حرکت به بالا)

اندازه‌گیری شده است. برای آزمایش انجام گرفته مقادیر پارامترهای ثابت مدل‌های  $Q$  با "پارامتر ثابت" و "تنظیم شده" بدین صورت انتخاب شده‌اند:  $\theta = 0.1$ ,  $k = 5$ ,  $\delta = 10$ ,  $\rho = 2$ ,  $\lambda = 0.5$ ,  $\gamma = 0.9$ ,  $\varepsilon = 0.000001$  ( فقط برای مدل  $Q$  با پارامتر ثابت) و  $period = 1$  (برای مدل‌های  $Q$  با پارامتر تنظیم شده). در آزمایش‌های این بخش زمان متوسط یادگیری وضعیت جدید با معدل گیری از پنج بار اجرای هر آزمایش محاسبه گشته است.



شکل ۵. پیکربندی‌های محیط پایه در آزمایش انعطاف پذیری

در این آزمایش از مدلها بعنوان مأمور یادگیر محیط شکل ۵ استفاده گشته است. در اینجا مأمور یادگیرنده در محیط ۵-الف یاد می‌گیرد که انتخاب فعالیتهای "حرکت به بالا" و "حرکت به پایین" در هر شرایط پسخور ناموفق دریافت خواهد کرد اما هرگاه خانه سمت راست (یا چپ) مأمور خالی باشد انتخاب فعالیت "حرکت به راست" (یا چپ) پسخور موفق دریافت خواهد نمود. اما وقتی مأمور در محیط ۵-ب قرار می‌گیرد باید یاد یادگیرد که در وضعیت جدید خود فعالیت "حرکت به بالا" را انتخاب کند. بنابر این آنچه که مأمور در محیط ۵-الف یادگرفته است (دسته‌های کشف شده در محیط ۵-الف) برای یادگیری وضعیت جدید در محیط ۵-ب کافی نمی‌باشد و درنتیجه یادگیری بهترین فعالیت برای اعمال در محیط ۵-ب فقط با انتخاب تصادفی فعالیتها امکان پذیر خواهد بود. شکل ۶ وضعیت درونی اولیه اتوماتون تنظیم کننده  $\theta$  در مدل  $Q_{FA}$  در محیط ۵-ب را با دایرة توپر نشان می‌دهد (این وضعیت پس از ۲۰۰۰ واحد زمانی شبیه‌سازی در محیط ۵-الف ایجاد شده است). با توجه به این شکل نرخ تغییر پارامتر  $\theta$  با دریافت پسخورهای ناموفق متوازن در محیط جدید در مدل  $Q_{FA}$  بیشتر از سایر مدل‌های است، مطابق شکل ۶ اتوماتون  $FA$  با دریافت هر پسخور ناموفق پارامتر  $\theta$  در مدل  $Q_{FA}$  را تغییر خواهد داد و همانطور که در جدول ۱ هم پیداست این مدل بیشترین انعطاف را داشته است.



شکل ۶. وضعیت درونی اولیه اتوماتون  $FA$  از مدل  $Q_{FA}$  در محیط ۵-ب

پس از مدل  $Q_{FA}$  مدل  $Q_L$  بیشترین نرخ تغییر پارامتر  $\theta$  را خواهد داشت. اتوماتون  $L$  در  $N$  واحد زمانی اولیه با دریافت پسخورهای ناموفق تغییری در پارامتر  $\theta$  نخواهد داد ولی از آن پس با دریافت هر پسخور ناموفق پارامتر  $\theta$  در مدل  $Q_L$  را تغییر خواهد داد. اتوماتون  $G$  برای هر تغییر در پارامتر  $\theta$  نیاز به دریافت  $N$  پسخور ناموفق دارد و بنا بر این مدل  $Q_G$  کمترین انعطاف را نشان می‌دهد. از آنجایی که رفتار مدل  $Q_{K1}$  در هنگام دریافت پسخورهای ناموفق معادل رفتار مدل  $Q_L$  است، نتایج آزمایشها برای آن نیز مشابه مدل  $Q_L$  بوده است. با استدلالهای مشابه می‌توان انتظار داشت که انعطاف پذیری مدل  $Q_{K2}$  بسیار پایین باشد. همچنین واضح است که افزایش  $N$  در اتوماتونهای ساختار ثابت باعث افزایش زمان یادگیری وضعیت جدید در مدل‌های  $Q_{K1}$ ,  $Q_G$ ,  $Q_L$ ,  $Q_{K2}$  می‌شود.

و  $Q_{K2}$  خواهد شد. باید توجه داشت که هر چند انتخاب مقادیر بزرگتر برای  $\theta$  احتمال بیشتری برای یادگیری وضعیت جدید ایجاد می‌کند اما انتخاب هر مقدار غیر صفر برای آن می‌تواند باعث کشف وضعیت جدید شود و با بر این نسبت زمان لازم برای یادگیری یک وضعیت جدید توسط مدل  $Q_G$  با افزایش  $N$  بطور خطی افزایش پیدا نخواهد کرد. لازم به ذکر است که مدل  $Q$  (با پارامتر ثابت) بطور متوسط به 32.1 و مدل  $Q_{LRP}$  به 14.3 واحد زمانی برای یادگیری وضعیت جدید در محیط شب نیاز داشته‌اند.

مدل	$N$	متوجه زمان لازم برای یادگیری وضعیت جدید
$Q_{FA}$	1	9.6
	5	12
	10	18.2
	20	27.2
	5	12.8
	10	27
	20	54.4
	5	10.6
	10	22.3
	20	31.6
$Q_G$	5	39.3
	10	67.3
	20	446
$Q_{K1}$		
$Q_{K2}$		

جدول ۱. مقایسه زمان یادگیری وضعیت جدید.

#### ۴-۱-۲. مقایسه قدرت اکتشاف

در مدل‌های یادگیری از پارامتر انتخاب تصادفی ( $\theta$ ) به منظور کشف وضعیت‌های جدید استفاده می‌شود. تکیک اکتشاف بوسیله انتخاب تصادفی فعالیتها به تکنیک اکتشافی غیر مستقیم [16][15] معروف است. پیاده سازی این تکنیک اکتشافی، ساده، اما غیر کارا است [17] (در [18] ثابت شده است که در این تکنیک با افزایش تعداد وضعیت‌ها زمان یادگیری به طور نمایی افزایش پیدا می‌کند). بنابراین عموماً هنگامی که تعداد وضعیت‌ها زیاد است از تکنیک‌های اکتشافی مستقیم [17,19,20,21] استفاده می‌گردد. در این تکنیک‌ها برای اکتشاف محيط از اطلاعات آماری کسب شده در تجربیات استفاده می‌شود (ثبت شده است که با افزایش تعداد وضعیت‌ها زمان یادگیری با این تکنیک‌ها به صورت یک چند جمله‌ای درجه پایین رشد می‌کند). در آزمایش‌های انجام شده در این قسمت از یک نمونه از این مدلها بنام  $DQ$  نیز استفاده شده است [2].

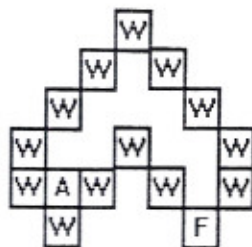
برای گنجاندن قدرت اکتشاف بیشتر در مدل‌های  $Q$  با پارامترهای تنظیم شونده روش محاسبه پسخور مأمورهای یادگیری تنظیم کننده پارامتر  $\theta$  در این مدل به صورت زیر تغییر داده شده است:

$$(16) \quad \text{IF } \sum_{i=p}^t r_i^0 > \sum_{i=T-p}^T r_i^0 \text{ THEN } r^{*i} = \text{MAX}_{i=1}^t(r_i^0)$$

$$(17) \quad \text{ELSE } r^{*i} = \text{MIN}_{i=1}^t(r_i^0)$$

شرایط بالا تضمین می‌کنند تا در صورت عدم افزایش بیشترین پسخور دریافتی در پریودها مقدار پارامتر تصادفی مدل (و در نتیجه میزان اکتشاف آن) پسخور کمینه دریافت کند. برای مقایسه قدرت اکتشاف در محیط

شکل ۷ استفاده شده است. در این آزمایش قدرت اکتشاف مدلها بر حسب زمان لازم برای یافتن غذا در محیط اندازه گیری شده است.



شکل ۷. آزمایش قدرت اکتشاف.

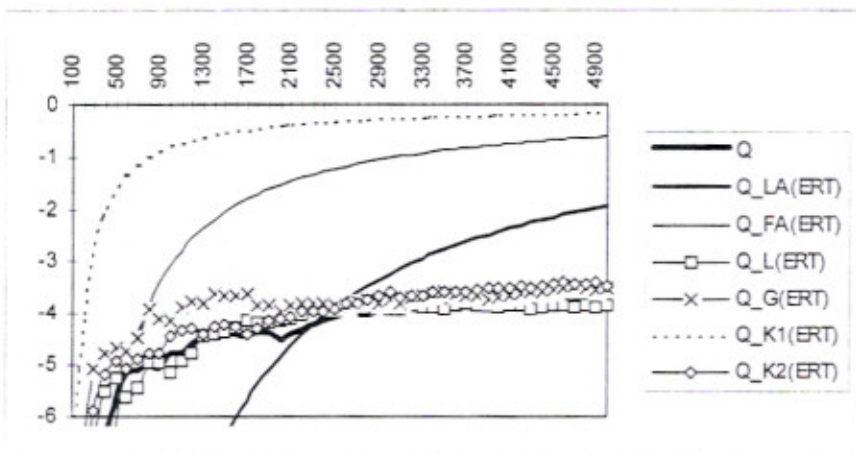
نام مدل	زمان متوسط برای یافتن غذا (قدرت اکتشاف)	متوسط پسخور طی زمان اکتشاف (عملکرد)
R	147	-22
Q	10357	-2.2
Q_L, N=5	147	-22.6
Q_L, N=10	109	-23
Q_L, N=20	85	-24
Q_G, N=5	119	-24.3
Q_G, N=10	112	-24
Q_G, N=20	113	-22.6
Q_K1, N=5	39	-25.2
Q_K1, N=10	72	-20.8
Q_K1, N=20	151	-22.4
Q_K2, N=5	63	-18.0
Q_K2, N=10	113	-22
Q_K2, N=20	147	-22.4
Q_LRP	537	-8.4
DQ	361	-12.8

#### جدول ٢. معايير قدرت اكتشاف مدتها.

#### ۴-۲. تنظیم سایر پارامترهای یادگیری با اتوماتونهای یادگیر

در اینجا رفتار 'مدلهای  $Q$ ' با پارامترهای تنظیم شده توسط چند اتوماتون یادگیر، بررسی شده است. پیکربندی محیط پایه در این آزمایشها همان پیکربندی شکل ۴ است. مشخصات اتوماتونهای تنظیم کننده پارامتر (های) مدلها در این آزمایشها از این قرار می‌باشد: اتوماتون تنظیم کننده  $\theta$  شامل  $10$  فعالیت است که بکم از مقادیر  $0.2, 0.1, 0.0$ .

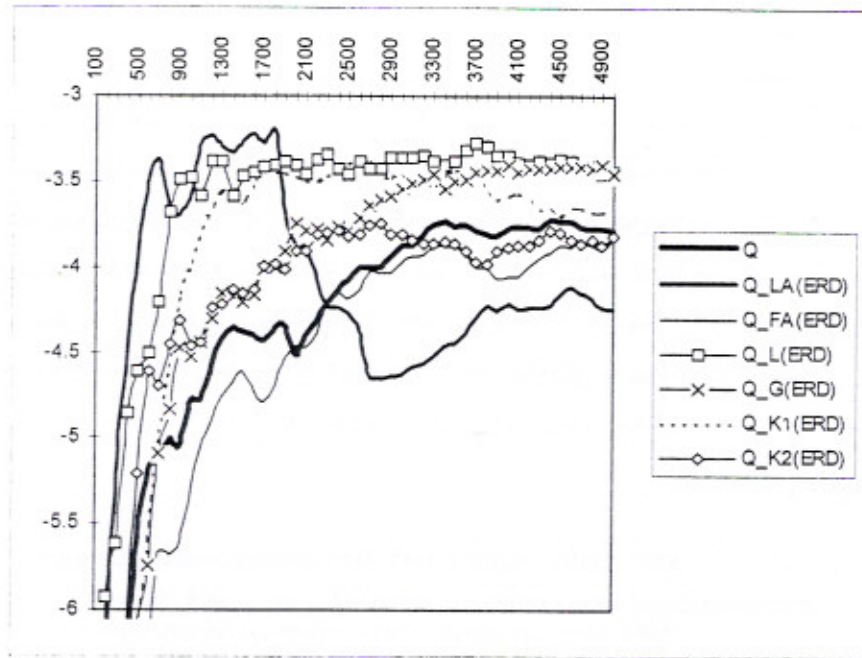
... و 0.9 را برای  $\theta$  انتخاب می‌کنند. اتوماتون تنظیم کننده  $\epsilon$  دارای ۱۰ فعالیت برای انتخاب یکی از مقادیر ۰، ۰.۰۰۰۰۰۱، ۰.۰۰۰۰۰۰۱، ۰.۰۰۰۰۰۰۰۱، ۰.۰۰۰۰۰۰۰۰۱ و ۰.۸ برای  $\epsilon$  است، اتوماتون تنظیم کننده  $\rho$  یکی از ۵ مقدار ۰، ۱، ۲، ۳ و ۴ را برای  $\rho$  و اتوماتون تنظیم کننده  $\sigma$  یکی از ۱۰ مقدار ۱، ۵، ۱۰، ۱۵، ... و ۴۵ را برای  $\sigma$  انتخاب می‌کند. در این آزمایشها پارامترهای  $K$ ،  $\lambda$  و  $\gamma$  تنظیم نشده‌اند و مقدار این پارامترها برای تمام مدلها ثابت و به ترتیب برابر با ۵، ۱ و ۰ در نظر گرفته شده است. همچنین هرجا پارامترهای  $\theta$ ،  $\rho$  و  $\sigma$  تنظیم نشده باشند مقدار آنها به ترتیب برابر با ۱۰، ۰.۰۰۰۰۰۱، ۰.۰۰۰۰۰۰۱ و ۰.۰۰۰۰۰۰۰۱ قرار داده شده است (این مقادیر برای آزمایش مشابهی در [Mahedavan92] پیشنهاد شده‌اند). مقدار برای تمام اتوماتونها برابر با ۱۰ واحد زمانی در نظر گرفته شده است. نتایج آزمایشها در نمودارهای ۸ تا ۱۰ آورده شده است. نتایج آزمایشها نشان دادند که در بعضی موارد مدلها نمی‌توانند بهترین مقادیر را برای پارامترهای تنظیم کننده پیدا کنند و در بهینه‌های محلی قرار می‌گیرند. عنوان مثال در جدول ۳ مقدار پارامتر  $\theta$  در انتهای شبیه‌سازی نمودار ۸ آورده شده است همانطور که در این جدول ملاحظه می‌شود پس از خبره شدن مدل در محیط پارامتر  $\theta$  در بعضی موارد بجای آنکه به مقدار ۰ همگرا به مقدار ۰.۱ همگرا شده است. اما با این وجود عملکرد مدل‌های تنظیم کننده پارامترها در اکثر موارد معادل و یا بهتر از مدل Q با پارامتر ثابت بوده است. بنظر می‌رسد که با در نظر گرفتن نتایج بهتری برای تعیین پسخور اتوماتونهای تنظیم کننده پارامترها و تنظیم عمق حافظه این اتوماتونها بتوان به نتایج بهتری نیز دست یافت.



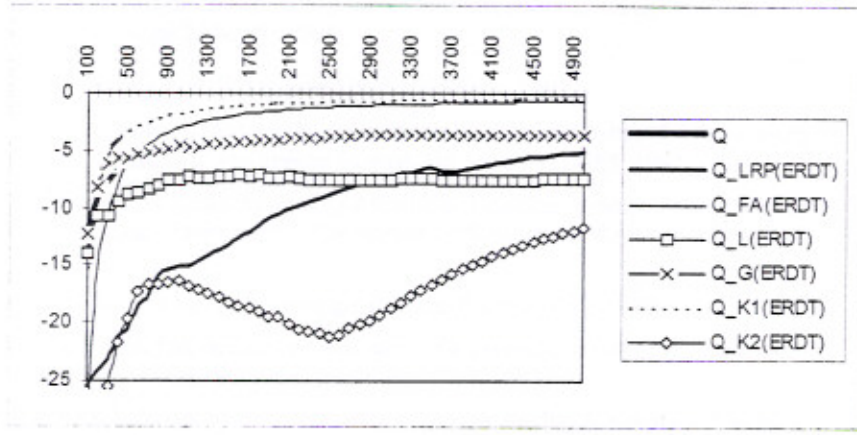
نمودار ۱. مقایسه عملکرد مدل‌های مختلف با تنظیم همزمان پارامترهای  $\epsilon$  و  $\rho$ .

نام مدل:	مقدار $\theta$
Q_K2	۱۰
Q_K1	۰
Q_G	۱۰
Q_L	۱۰
Q_FA	۰
Q_LRP	۰

جدول ۳. مقدار نهایی  $\theta$  پس از شبیه‌سازی نمودار ۱



نمودار ۹. مقایسه عملکرد مدلهای مختلف با تنظیم همزمان پارامترهای  $\epsilon$  و  $\rho$ .



نمودار ۱۰. مقایسه عملکرد مدلهای مختلف با تنظیم همزمان پارامترهای  $\epsilon$ ,  $\rho$  و  $\theta$ .

در جدول ۴ تعداد دسته‌ها در انتهای شبیه‌سازیهای نمودارهای ۸ تا ۱۰ آورده شده است. می‌توان نشان داد که حداقل تعداد دسته‌هایی که مأمور در محیط شکل ۴ احتیاج دارد ۱۲ است (این دسته‌ها معنی دارترین دسته‌ها برای یادگیری این محیط را نیز تشکیل می‌دهند). اما همانطور که مشاهده می‌شود مدلهایی که پارامترهای آنها توسط اتوماتونهای ساختار ثابت تنظیم می‌شده نتوانسته‌اند به تعداد دسته‌های بینهای همگرا شوند و در این مورد تنظیم پارامترها با اتوماتونهای ساختار متغیر نتایج بهتری را در برداشته است.

Q_K2	Q_K1	Q_G	Q_L	Q_FA	Q_LRP	Q	
۳۲	۱۰	۳۲	۱۲	۳۲	۱۷	۲۴	$\epsilon, \rho, \theta$
۲۳	۱۶	۲۰	۲۱	۱۲	۱۲	۲۴	$\epsilon, \rho, \sigma$
۱۵	۱۱	۴۶	۲۹	۳۲	۱۲	۲۴	$\epsilon, \rho, \sigma, \theta$

جدول ۴. تعداد دسته‌ها پس از شبیه‌سازی

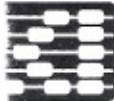
## ۶. جمعبندی

با تنظیم خودکار پارامترهای مدل یادگیری Q مشکلات استفاده از روش‌های تجربی و سعی و خطأ در یافتن مقادیر بهینه این پارامترها از بین می‌رود. پیش از این در [2] و [3] استفاده از اتوماتونهای یادگیر با ساختار متغیر برای تنظیم خودکار پارامترها پیشنهاد گشته است و در این مقاله نیز نتایج استفاده از اتوماتونهای یادگیر با ساختار ثابت برای این منظور مورد بررسی قرار گرفته شد. نتایج آزمایشها نشان می‌دهند که اتوماتونهای ساختار ثابت تقریباً در تمام آزمایشها نتایج بهتری نسبت به مدل کلاسیک (بدون تنظیم پارامترها) داشته‌اند. در بسیاری از آزمایشها نتایج این مدلها از مدل‌های تنظیم شده با اتوماتونهای ساختار متغیر نیز بهتر بوده است. هرچند این اتوماتونها بیش از اتوماتونهای ساختار متغیر در بهینه‌های محلی قرار می‌گیرند اما در عوض درای ساختار نسبتاً ساده‌تری می‌باشند و بنظر می‌رسد که برای تنظیم پارامترهای مدل Q در بسیاری از کاربردها مناسب باشند.

## مراجع

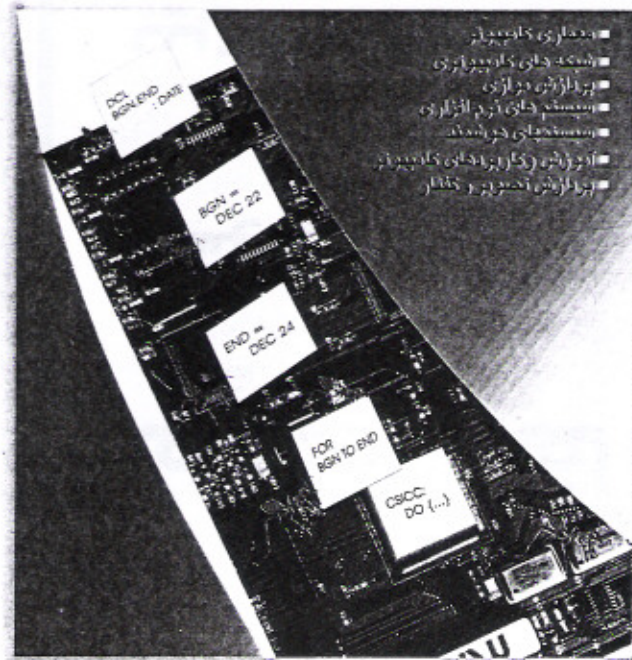
- [1] C. Watkins, Learning from delayed rewards, PhD. Thesis, Kings College, 1989.
- [2] S. Hodjat and M.R. Meybodi, Fine tuning of Q-learning parameters using learning automata, The Second Annual Conference of Computer Society of Iran, pp. 33-44, 1996.
- [3] S. Hodjat and M.R. Meybodi, Fine tuning of Q-learning parameters using games of automata, Computer Science Technical Report, Amirkabir University, 1997.
- [4] L. P. Kaelbling and M. L. Littman and A.W. Moore, Reinforcement learning, Artificial Intelligence Journal, vol 4, pp 237-285 , 1996.
- [5] R. Schalkoff, Pattern recognition, Wiley International Editions, 1991.
- [6] S. Mahadevan and J. Connell, Automatic programming of behavior-based robots using reinforcement learning, Artificial Intelligence Journal, vol 55, pp 311-365, 1992.
- [7] M. Dorigo and H. Bersini, A comparison of Q learning & classifier systems, Proceedings of from Animats to Animals, International Conference on Simulation of Adaptive Behavior, SAB 1994.
- [8] K. S. Narendra and A. L. Thathachar, Learning automata, Prentice Hall, 1989.
- [9] M. R. Meybodi and S. Lakshmivarahan,  $\varepsilon$ -Optimality of a general class of absorbing barrier learning algorithms", Information Sciences, vol 28, pp. 1-20, 1982.
- [10] M. L. Tsetlin, On the behavior of finite automata in random media, Automata and Remote Control, vol 22, pp 1345-54, 1962.
- [11] M. L. Tsetlin, Automata theory and modeling of biological systems, Academic Press, NY, 1973.
- [12] V. I. Krinsky, An Asymptotically optimal automaton with exponential convergance, Biofizika, vol 9 . pp 99-105, 1964.
- [13] V. Yu. Krylov, One stochastic automaton which is asymptotically optimal in random medium, Automata and Remote Control, vol 24 . pp 1114-16, 1964.
- [14] M. C. Mozer and J. R. Bachrach, Discovering the structure of a reactive environment by exploration, Technical Report. CU-CS-451-8. Dept of Computer Science, University of Colorado, Boulder, November 1989.
- [15] A. G. Barto, S. J. Bradthe and S. P. Singh, Learning to act using real-time dynamic programming, Artificial Intelligence, vol 72(1), pp. 81-138, 1995.
- [16] A. K. McCallum, Efficient Exploration in reinforcement learning with hidden state, University of Rochester, 1996.
- [17] S. D. Whitehead, Complexity and cooperation in Q learning, In L.A. Birnbaum G.C. Collins, editors, proceedings of the eighth international workshop on Machine learning, San Mateo, CA, Morgan Kaufmann , pp 363-367, 1991.

- [18] L. Kaelbling, Learning in embedded systems, PhD. Thesis, Stanford University, Stanford, CA, 1990.
- [19] S. Koenig and R. G. Simmons. Complexity analysis of real time reinforcement learning, In Proceedings of Eleventh Conference on Artificial Intelligence, AAAI-93, Menlo-park CA, pp 99-105, 1993.
- [20] M. Sato, K. Abe and H. Taheda, Learning control of finite Markov chains with an explicit trade off between estimation and control, IEEE Transactions on Systems, Man and Cybernetics, vol 18(5), September 1988.
- [21] S. B. Thrun, The role of exploration in learning control, In handbook of intelligent control: Neuro, Fuzzy and Adaptive Approaches, Nostrand Reinhold, 1992.
- [22] S. Hodjat and M.R. Meybodi, Fine tuning of Q-learning parameters using fixed structured automata, Computer Science Technical Report, Amirkabir University, 1997.



# **PROCEEDING OF THE THIRD INTERNATIONAL ANNUAL COMPUTER SOCIETY OF IRAN COMPUTER CONFERENCE**

CSICC'97



# **COMPUTER CONFERENCE**

# Science And Technology Engineering Department IRAN - I.R.IRAN

23-25 Dec. 1997